

Zeitschrift: Schweizerische Wasserwirtschaft : Zeitschrift für Wasserrecht, Wasserbautechnik, Wasserkraftnutzung, Schifffahrt

Herausgeber: Schweizerischer Wasserwirtschaftsverband

Band: 17 (1925)

Heft: 5

Rubrik: Mitteilungen der Kommission für Abdichtungen des Schweizer. Wasserwirtschaftsverbandes

Nutzungsbedingungen

Die ETH-Bibliothek ist die Anbieterin der digitalisierten Zeitschriften auf E-Periodica. Sie besitzt keine Urheberrechte an den Zeitschriften und ist nicht verantwortlich für deren Inhalte. Die Rechte liegen in der Regel bei den Herausgebern beziehungsweise den externen Rechteinhabern. Das Veröffentlichen von Bildern in Print- und Online-Publikationen sowie auf Social Media-Kanälen oder Webseiten ist nur mit vorheriger Genehmigung der Rechteinhaber erlaubt. [Mehr erfahren](#)

Conditions d'utilisation

L'ETH Library est le fournisseur des revues numérisées. Elle ne détient aucun droit d'auteur sur les revues et n'est pas responsable de leur contenu. En règle générale, les droits sont détenus par les éditeurs ou les détenteurs de droits externes. La reproduction d'images dans des publications imprimées ou en ligne ainsi que sur des canaux de médias sociaux ou des sites web n'est autorisée qu'avec l'accord préalable des détenteurs des droits. [En savoir plus](#)

Terms of use

The ETH Library is the provider of the digitised journals. It does not own any copyrights to the journals and is not responsible for their content. The rights usually lie with the publishers or the external rights holders. Publishing images in print and online publications, as well as on social media channels or websites, is only permitted with the prior consent of the rights holders. [Find out more](#)

Download PDF: 17.04.2026

ETH-Bibliothek Zürich, E-Periodica, <https://www.e-periodica.ch>

Mitteilungen der Kommission für Abdichtungen des Schweizer. Wasserwirtschaftsverbandes

No. 12

25. Mai 1925

II. Bericht

über die Versuche zur Ermittlung des Durchflussgesetzes und der Durchlässigkeitskonstanten für den Durchfluss von Wasser durch verschiedene Kies- und Sandmaterialien in der Versuchsanstalt Manegg

von W. Hugentobler,
Ingenieur der Abdichtungskommission.

Entsprechend dem Beschlusse der Abdichtungskommission vom 23. Februar 1924 wurden für die Ermittlung des Durchflussgesetzes und der Durchlässigkeitskonstanten für den Durchfluss von reinem Wasser durch verschiedene Kies- und Sandmaterialien und die Beobachtung der Selbstdichtung im Innern solcher Materialien beim Durchfluss von lehmhaltigem Wasser, an Stelle des bisherigen Holzkanals mit unkonstantem Querschnitt (siehe Mitteilungen Nr. 11 vom 25. Mai 1924) zwei vollständig neue Apparate erstellt, bei denen die verschiedenen, anlässlich der ersten Versuche aufgetauchten Wünsche nach Verbesserung möglichste Berücksichtigung fanden.

1. Beschreibung der Apparate und Versuche.

Die Konstruktion des neuen Apparates

No. 1 mit dem durchgehend gleichen quadratischen Kanalquerschnitt von $56,5 \times 56,5 \text{ cm} = 3200 \text{ cm}^2$ ist aus der Abbildung No. 1 ersichtlich. Der Kanal hat eine Länge von 500 cm und ist am Anfang und am Ende durch ein Drahtsieb abgeschlossen, um das Herauswaschen der feineren Bestandteile der Versuchsmaterialien zu verhindern. Der Einlauf- und der Auslaufkasten sind 100 cm lang und 60 cm breit. Die Ueberlaufkante ist je 100 cm über der Kanalachse angebracht. Der Kanal hat 4 Paare von Glaspiezometerröhrchen R2 bis R5, welche mittels Gummizapfen in eiserne, durch die Holzwand durchgestossene Wasserröhrchen eingesteckt sind, von denen die einen bis zur Mitte des Kanalquerschnittes, die andern nur bis zur innern Kanalwand reichen, um bei Bedarf die Verschiedenheit der Drücke im Innern des Materials und längs den Seitenflächen beobachten zu können. Jeder Gummizapfen hat noch eine zweite Lochung für die Aufnahme eines dünnen Gummischlauches mit Quetschhahnen zur Entnahme von Wasserproben aus dem Innern des Kanales. Die Wasserspiegel im Einlauf- und Auslaufkasten lassen sich mittels der Piezometerröhrchen R1 und R6 genau beobachten. Die Innenwände des Holz-

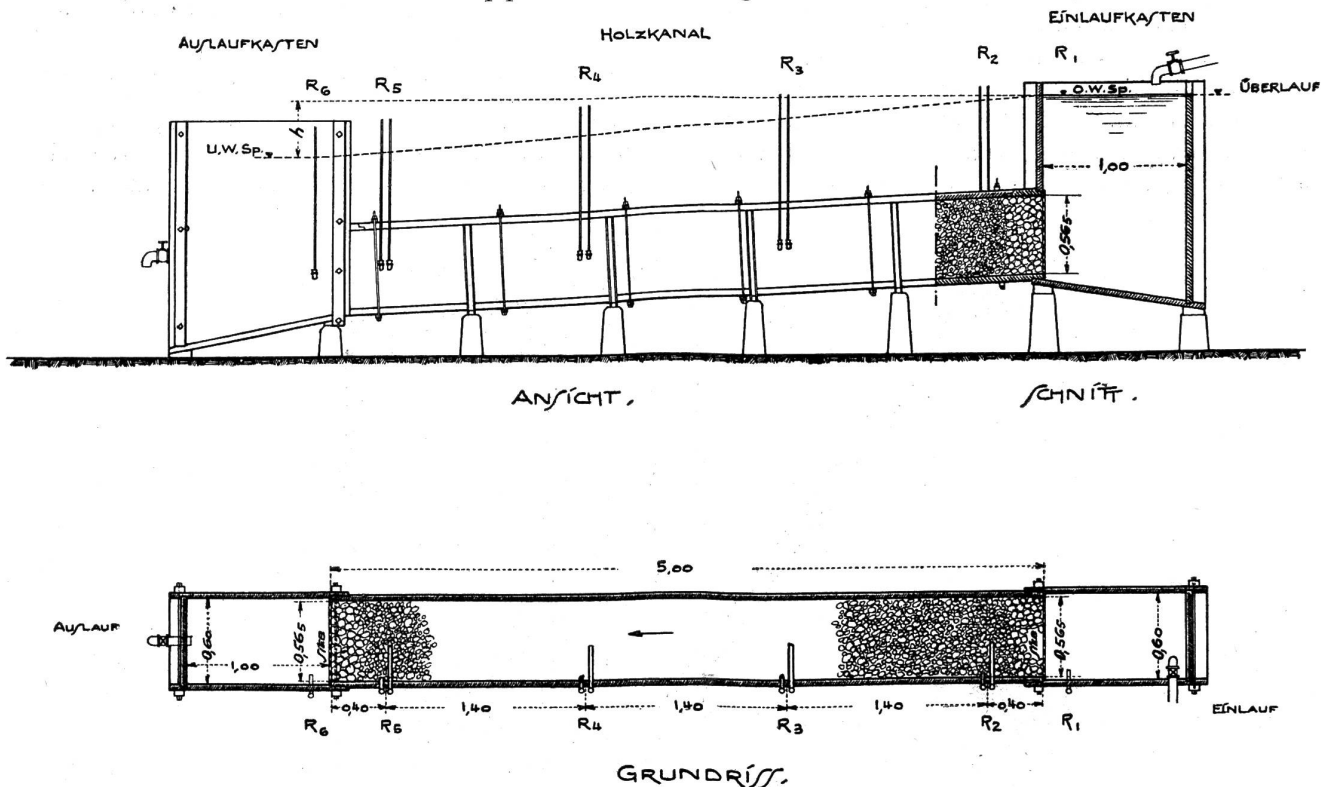


Abb. 1. Apparat No. 1 mit liegendem Versuchskanal. Maßstab 1 : 50.

kanales sind ungehobelt, um eine zu grosse Randgeschwindigkeit des Wassers zu vermeiden. Für das Einbringen der Versuchsmaterialien kann der aus einem Stück bestehende Deckel des Kanals mit zwei Flaschenzügen abgehoben und nachher mit aussenliegenden, in U-Eisenrahmen eingepassten Eisenbolzen wieder wasserdicht aufgesetzt werden.

Durch das sorgfältigst in den Kanal eingebrachte Versuchsmaterial wurde vorerst reines Wasser geleitet. Die Verbindungslinie der Wasserspiegel in den einzelnen Piezometerröhrchen, die Drucklinie, zeigte bei den meisten Versuchen eine fast geradlinige Form und es konnten auch keine wesentlichen Unterschiede in den Piezometerständen in der Kanalachse und längs der Kanalwand nachgewiesen werden.

Für die Berechnung der Durchflusskonstanten wurde der Druckhöhenunterschied zwischen dem Einlauf- und Auslaufkasten R1 und R6 benützt. Nur bei sandigem Material kam dafür der Druckunterschied von R2 und R5 in Betracht, da bei diesen Versuchen je ein Raum von zirka 40 cm am Anfang und am Ende des Kanales mit größerem Material ausgefüllt wurde, um das Eindringen des Sandes in den Einlauf- und Auslaufkasten zu verhindern.

Aus diesen Versuchen erhielt man die Wassermenge Q am Auslaufhahnen in cm^3 pro Sekunde gemessen, den Druckhöhenunterschied h und damit das Druckgefälle $J = \frac{h}{L}$, wobei L die Distanz der für h in Berechnung gezogenen Piezometerröhrchen bedeutet.

Um diese Beobachtungen statt nur beim horizontalen auch beim vertikalen Durchfließen von Wasser durch die Versuchsmaterialien machen zu können, wurde noch ein zweiter Versuchsaппarat hergestellt, bestehend aus

einem 250 cm hohen Holzkasten mit quadratischem Querschnitt von $100 \times 100 \text{ cm} = 1 \text{ m}^2$, oben offen und unten durch einen horizontalen Boden mit einer verschliessbaren Auslauföffnung abgeschlossen (siehe Abbildung 2). Der Apparat wurde neben das Standrohr ins offene Bassin gestellt, was die Möglichkeit gab, für die Versuche das Kanalwasser direkt aus der Hauptleitung in den Apparat zu leiten, wodurch verhältnismässig grosse Wassermengen zur Verfügung standen. Die Messung des durch den Apparat durchgeflossenen Wassers geschah am Ende der Leerlaufleitung des offenen Bassins. Durch verschiedenes Oeffnen des Bodenschiebers und entsprechender Regulierung der Zulaufleitung war es möglich, ein gewünschtes Quantum Wasser durch den Apparat durchzuleiten. Der Kasten ist vertikal durch drei Piezometerröhrchen in zwei gleiche Zonen von je 0,90 m Länge eingeteilt. Diese Piezometerröhrchen dienen zur genauen Beobachtung des Wasserdruckes in den entsprechenden Horizontalquerschnitten des Kastens und damit zur Ermittlung der Druckhöhenabnahme des durchfliessenden Wassers, vom Einlauf bis zum Auslauf.

2. Ermittlung der Durchlässigkeitskonstanten.

Unseren Versuchen wurde das sog. Potenzgesetz $v^m = A \cdot J$ zu Grunde gelegt, bei welchem v die Filtergeschwindigkeit in mm pro Sekunde, J das Druckgefälle und m und A Konstante bedeuten. Durch Logarithmieren erhält man die Gleichung $\log \frac{1}{J} = \log A - m \cdot \log v$. Wenn man

die verschiedenen Werte von $\log \frac{1}{J}$ und $\log v$ in einem rechtwinkligen Achsenkreuz aufträgt, erhält man eine Punktschar, welche durch eine Gerade ausgeglichen werden kann, die auf der

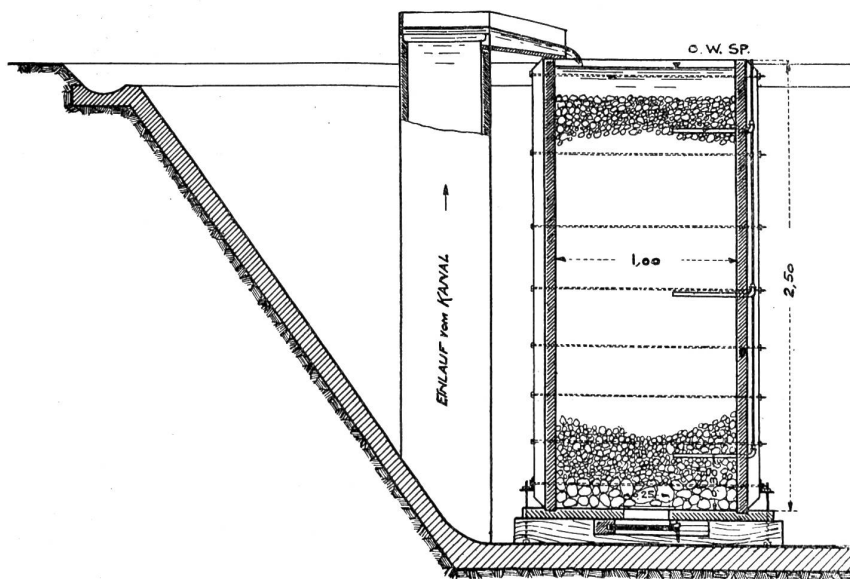


Abb. 2. Apparat No. 2 mit stehendem Versuchskanal. Querschnitt. Maßstab 1:40.

Y-Achse den Wert $\log A$ abschneidet und mit der X-Achse den Winkel α einschliesst, dessen Mass durch $\text{tg } \alpha = m$ ausgedrückt wird. Auf diese Weise ist es möglich, für die verschiedensten Materialien aus den experimentell ermittelten Werten v und J die Konstanten A und m graphisch zu bestimmen. Um die einzelnen Punkte etwas auseinanderzuziehen, sind in unseren Beispielen die $\log v$ doppelt verzerrt worden. Dementsprechend ist auch der von der Ausgleichsgeraden mit der X-Achse eingeschlossene Winkel α verkleinert und es entspricht $m = 2 \times \text{tg } \alpha$ (siehe Abbildung 3 bis 9).

In den besprochenen zwei Versuchsapparaten kamen sechs verschiedene Materialien, No. 4, 5, 6, 7, 8 und 9, zur Untersuchung, deren Korngrössen, spez. Gewichte und Hohlräume (Porenvolumen) in der Eidg. Materialprüfungsanstalt genau festgestellt wurden. Die beistehende Tabelle 5 gibt die Resultate der Siebversuche an und die graphische Darstellung Abbildung 10 zeigt die

Charakteristiken der einzelnen Materialien in Form von Summenlinien aus dem prozentualen Anteil der einzelnen Korngrössen am Gesamtgewicht. Diesen Materialien wurde noch ein siebentes Material No. 2 beigefügt, eine Mischung aus Kies mit sehr viel Sand, welche schon früher in dem erstellten Versuchsapparat zur Untersuchung kam (s. Mitteilungen No. 11). Wenn auch die Resultate dieses Durchlässigkeitsversuches nicht die Genauigkeit der übrigen besitzen (von der Unvollkommenheit des ersten Apparates herrührend), so gibt dieses Beispiel doch ein charakteristisches Bild des Verlaufes der Ausgleichsgeraden bei einem verhältnismässig sehr dichten Material.

Entsprechend den Auftragungen der $\log v$ auf der X-Achse befinden sich am weitesten rechts und links von der Y-Achse die Punkte extremer Geschwindigkeiten. Wie aus den Abbildungen ersichtlich ist, lassen sich im allge-

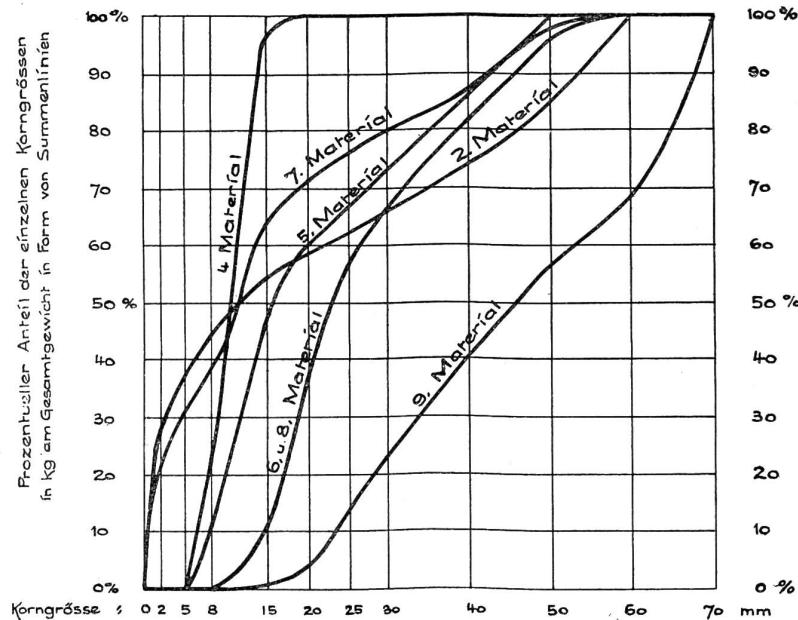


Abb. 10. Charakteristiken der Materialien 2 bis 9.

Tabelle 5

Material	Korngrösse: Rückstände in % auf Sieben mit runden Löchern von Durchmessern: mm														Litergewicht im Anlieferungszustand	Hohlräume in % des Volumens	
	60	50	40	30	25	20	15	8	5	2	1,5	1,0	0,5	< 0,5			
4. Gartenkies . . .							4,1	73,5	22,4							1,64	38,5
5. Reiner Kies . . .			14,5	12,7	5,9	7,2	12,4	36,8	10,5							1,67	37,4
6. Reiner Kies . . .		5,1	12,9	15,8	9,4	20,2	25,7	10,9								1,55	41,9
8. Reiner Kies . . .		5,1	12,9	15,8	9,4	20,2	25,7	10,9								1,55	41,9
7. Kies und Sand . . .		2,0	10,9	7,0	3,5	5,4	7,5	25,5	7,6	11,2	3,2	5,7	6,6	3,9		1,907	27,5
9. Reiner Kies . . .	31,9	11,7	16,0	17,5	8,8	9,8	3,7	0,6								1,65	39,0
2. Kies und Sand . . .		15,1	10,8	8,2		7,2	4,6	9,4		16,4	4,2	8,4	10,8	4,9		2,00	24,2

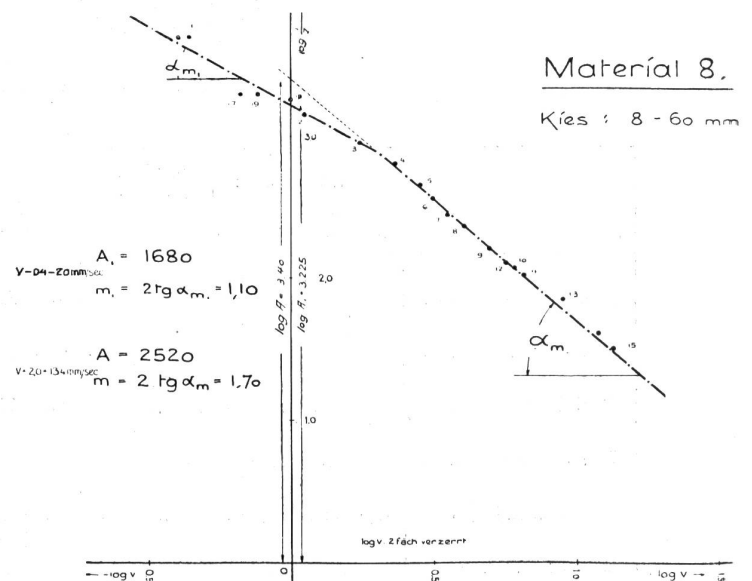
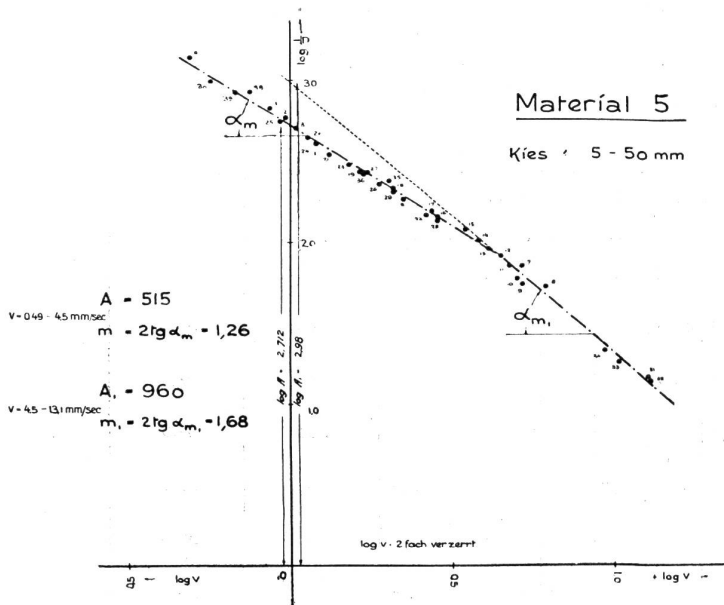
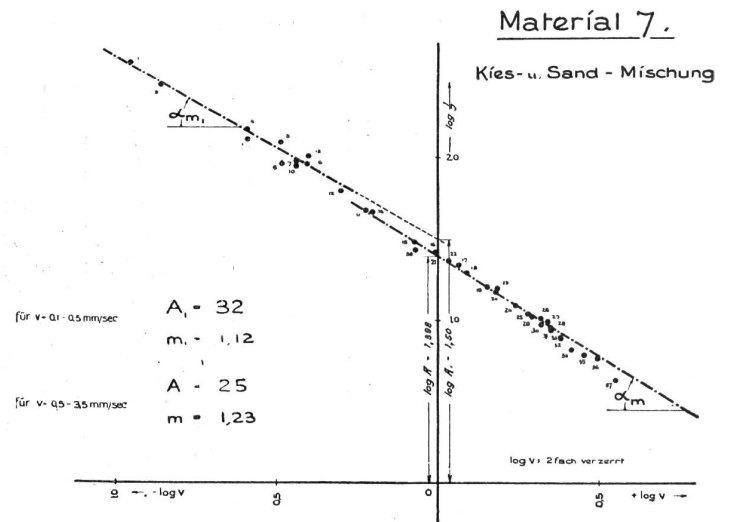
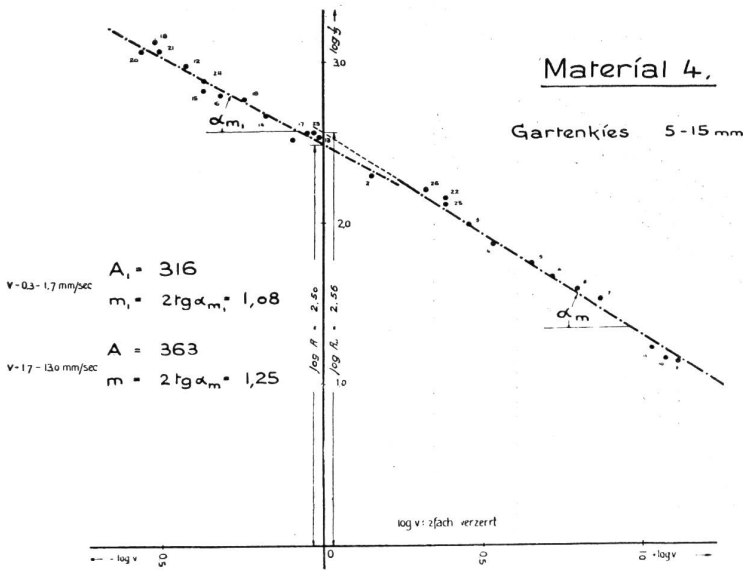
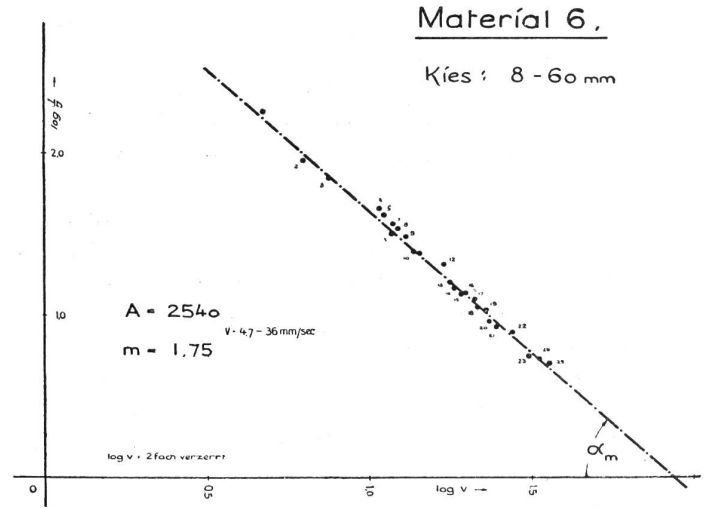
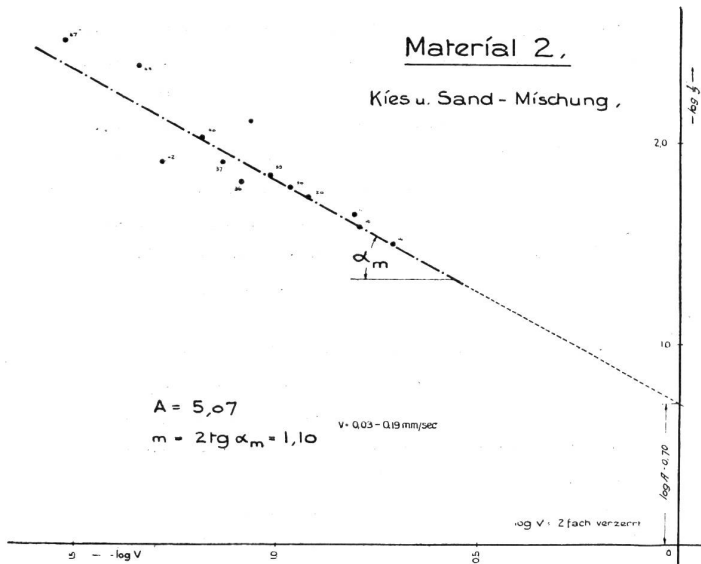


Abb. 3 bis 8. Graphische Bestimmung der Konstanten A und m für die Materialien 2 bis 8.

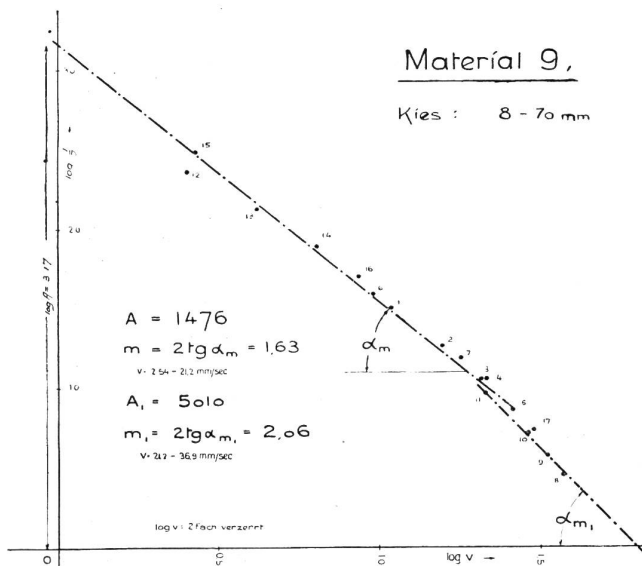


Abb. 9. Graphische Bestimmung der Konstanten A und m für das Material 9.

meinen die Punktscharen, wenn von diesen extremen Punkten abgesehen wird, durch eine Gerade ausgleichen. Dadurch erhält man für die einzelnen Materialien die beiden Konstanten A und m, welche für alle nicht abnormalen Wassergeschwindigkeiten Gültigkeit haben. Bei durchlässigeren Materialien werden die Ausgleichsgeraden steiler und entfernen sich mehr vom Achsen Schnittpunkt, als bei dichteren Materialien. Dementsprechend haben die durchlässigeren Materialien auch ein grösseres A und ein grösseres m als die dichteren Materialien.

Werden die extremen Punkte für sich ins Auge gefasst, so zeigt es sich, dass diese jeweiligen unter sich durch eine Gerade ausgeglichen werden können. Bei den Materialien 2, 7 und 8 betrifft dies die Punkte der kleinen Geschwindigkeiten. Diese Ausgleichsgerade besitzt annähernd ein $\text{tg } \alpha = 0,5$, sodass der Exponent m sich der Zahl 1 nähert, also das Darcy'sche Gesetz $v = A \cdot J$ Gültigkeit erhält. Bei den Materialien 4, 5, 6 und 9 lassen sich umgekehrt die Punkte grösster Geschwindigkeiten zu einer besondern Geraden vereinigen, welche steiler ist als die Hauptausgleichsgerade und somit ein grösseres A und speziell ein viel grösseres m ergibt.

Während die Materialien 4, 5, 7 und 8 im Apparat No. 1 (im liegenden Kanal) zur Untersuchung kamen, wurde für die Materialien 6 und 9 der stehende Holzkasten (Apparat No. 2) benützt. Das Material 6 wurde nach der Prüfung im Apparat No. 2 in den Apparat No. 1 als Material 8 eingefüllt, sodass die Resultate dieser beiden Versuche miteinander verglichen werden können. Die graphischen Aufzeichnungen zeigen eine gute Uebereinstimmung in den gefundenen Koeffizienten A und m für dieses Material in beiden Ver-

suchsapparaten. Die folgende Zusammenstellung gibt ein Bild der Grösse der Koeffizienten A und m für die verschiedenen Materialien.

Tabelle 1

Material No.	Koeffizienten		Gültig für Geschwindigkeiten V in mm/sec.
	A	m	
4	316	1,08	0,37 — 1,7
	363	1,25	1,7 — 13,0
5	515	1,26	0,49 — 4,5
	960	1,68	4,5 — 13,1
6	2540	1,75	4,7 — 36,0
8	1680	1,10	0,4 — 2,0
	2520	1,70	2,0 — 13,4
7	32	1,12	0,1 — 0,5
	25	1,23	0,5 — 3,5
2	5,07	1,10	0,03 — 0,19
9	1476	1,63	2,54 — 21,2
	5010	2,06	21,2 — 36,9

3. Versuche mit Lehmwassereinschwemmungen.

Anschliessend an die Durchflussversuche von reinem Wasser durch die Versuchsmaterialien wurden im Apparat No. 1 jeweiligen Lehmwassereinschwemmungen vorgenommen, um ausfindig zu machen, bei welchen Geschwindigkeiten des Lehmwassers sich der Lehm teilweise und ganz niederschlägt und bei welchen Geschwindigkeiten umgekehrt der Lehm durch die Materialien durchgeschwemmt wird. Die Versuche wurden folgendermassen durchgeführt:

Nachdem durch genaues Regulieren des Einlauf- und Auslaufwassers ein konstantes Wassermanifest zum Durchflusse gebracht wurde, schütete man ein bestimmtes Quantum Lehm in den Einlaufkasten und sorgte durch beständiges Umrühren mit einem eingesetzten Rührwerk für innige Vermischung des Lehm mit dem Wasser. Dieses so hergestellte Lehmwasser floss durch das Material im Kanal und es konnte seine Fortbewegung mittels Entnahme von Wasserproben aus den Gummischläuchlein bei den Piezometer röhren verfolgt werden. Zur genauen Bestimmung des Trockengehaltes der Lehmwasser wurden die Wasserproben in Glasfläschchen abgezogen, diese gut durchgerüttelt, sofort 100 cm³ des Inhaltes in eine vorher abgewogene Porzellanschale geschüttet und dann zur Trockne verdampft. Aus der Differenz der Gewichte von leerer Schale und der Schale mit Lehm, abzüglich des Trockenrückstandes von 100 cm³ reinen Wassers (0,026 gr) ergab sich der Lehmgehalt der einzelnen Proben.

Der Anfangslehmgehalt im Einlaufkasten war bei den einzelnen Versuchen nicht der gleiche, da eine gleichmässige Sättigung des Wassers mit

dem Lehm nicht erreicht wurde. Siehe beistehende Tabelle No. 2.

Tabelle 2

Material No.	Versuchs No.	Lehmgehalt im Einlaufkasten bei R ₁ in gr pro 100 cm ³ Wasser
5	1	1,074
	2	1,164
	3	0,536
	4	0,633
	5	0,674
7	1	0,66
	2	0,52
	3	1,20
	4	0,70
	5	0,73
	6	1,34
	7	1,12

Die entsprechenden Lehmgehalte der einzelnen Wasserproben bei den verschiedenen Piezometer-Röhren R₂ bis R₆ können der Tabelle No. 3 entnommen werden.

Bei den meisten vorgenommenen Versuchen zeigte sich schon ein sehr starker Rückgang des Lehmgehaltes von R₁ bis R₂, trotz der nur 40 cm betragenden Distanz dieser Röhren. Es ist dies daraus erklärlich, dass ein Teil des Lehmgehaltes schon beim Eintritt des Wassers in den Kanal in dem unmittelbar hinter dem Einlaufsieb gelegenen (meist aus größerem Kies bestehenden) Material liegen blieb.

Um die Abnahme des Lehmgehaltes von Röhren zu Röhren auf den Anfangslehmgehalt beim Eintritt in das eigentliche Ver-

suchsmaterial zu beziehen, wurde durchgehend als Anfangslehmgehalt der Gehalt beim Röhren R₂ angenommen und die prozentuale Abnahme von Röhren zu Röhren auf diesen Gehalt bezogen. Siehe beistehende Tabelle No. 3 mit Beispielen für die Materialien 5 und 7.

Diese Abnahme wurde für jedes Versuchsmaterial als Funktion der Geschwindigkeit in einem Achsenkreuz graphisch aufgetragen, wodurch man für jedes einzelne Piezometer-Röhren eine Kurve erhielt, welche für den betreffenden Kanalquerschnitt die Abnahme des Lehmgehaltes bei den verschiedenen Wassergeschwindigkeiten angibt. Siehe Abbildung 11.

Bei Materialien von gleichartiger Korngrösse, z. B. 4 und 5, sind die Kurven der Lehmablagerungen fast geradlinig, was auf eine den Geschwindigkeiten proportionale Ablagerung des Lehmes schliessen lässt. Je unregelmässiger die Korngrösse eines Materiales war, um so unregelmässiger wurden auch die Lehmablagerungen. Bei dem Material No. 7 war eine Vereinigung der gewonnenen Resultate für die einzelnen Piezometer-Röhren zu einer mehr oder weniger regelmässigen Kurve nur unter Vornahme von Interpolationen und Weglassung einzelner Messungen möglich (letztere wurden in den Tabellen 3 mit einem * bezeichnet).

4. Versuche mit Sandeinschwemmungen.

Eine weitere Serie von Versuchen sollte darüber Aufschluss geben, bei welchen Durchflussgeschwindigkeiten des Wassers

Material 5.

Tabelle 3

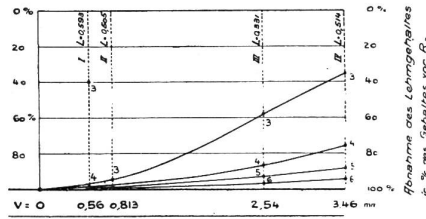
Lehmgehalt der Proben in gr pro 100 cm ³ Wasser						Abnahme des Lehmgehaltes bez. auf R ₂ in %				
Versuchs No.	II	III	I	IV	V	II	III	I*	IV	V
V eff. in mm/sec.	1,00	1,12	1,77	2,16	3,33	1,00	1,12	1,77	2,16	3,33
R ₂	0,503	0,493	1,042	0,582	0,590	77	76	81,5	48	18,3
R ₃	0,115	0,126	0,193	0,303	0,482	95	97	97	89	49,5
R ₄	0,024	0,015	0,031	0,064	0,298	98,2	—	—	96,2	79,5
R ₅	0,008	—	—	0,022	0,120	—	—	99	99	97,5
R ₆	—	—	0,012	0,006	0,014	—	—	—	—	—

Lehmgehalt bei R₂ als Anfangsgehalt = 100 % genommen

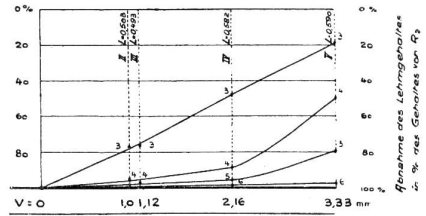
Material 7.

Lehmgehalt der Proben in gr pro 100 cm ³ Wasser								Abnahme d. Lehmgehaltes bez. auf R ₂ als Anfangsgehalt in %						
Versuchs No.	VI	VII	V	II	I	III	IV	VI*	VII	V	II	I	III*	IV
V eff. in mm/sec.	0,41	0,71	1,48	1,93	2,40	3,18	6,87	0,41	0,71	1,48	1,93	2,40	3,18	6,87
R ₂	1,202	0,787	0,574	0,479	0,562	1,079	0,724	81,5	51,2	19,5	34	44,1	41	31,8
R ₃	0,224	0,384	0,462	0,316	0,314	0,637	0,493	92,5*	61,6*	21,4*	14,2*	40,5*	40,3*	14,5*
R ₄ *	0,089	0,302	0,451	0,411	0,334	0,644	0,619	99	93,7	63	49	70,5	63	39,3
R ₅	0,011	0,049	0,212	0,244	0,166	0,399	0,439	99,5	98,7	76,5	84	83	64	44
R ₆	0,004	0,010	0,134	0,076	0,094	0,389	0,404	—	—	—	—	—	—	—

* wurden nicht in Betracht gezogen.

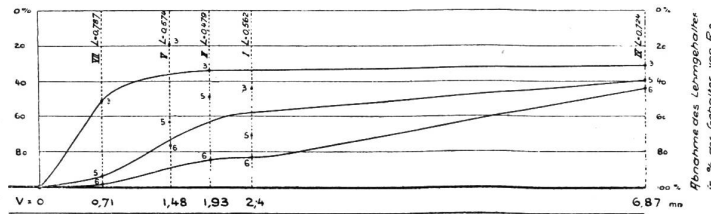


Material 4.
Kies: 5-15 mm, P.V. = 38,5 %



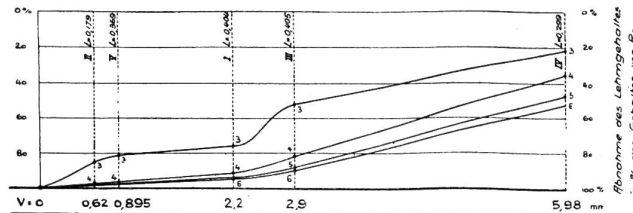
Material 5.
Kies: 5-50 mm, P.V. = 37,4 %

Material 7. Kies u. Sand: 0-50 mm



P.V. = 27,5 %

Material 8. Kies: 8-60 mm



P.V. = 41,9 %

Abb. 11. Graphische Darstellung der Abnahme des Lehmgehaltes als Funktion der Wassergeschwindigkeit.

Anmerkung. L = Anfangslehmgehalt bei R₂; I, II, III, IV, V = Nummern der Versuche; 3, 4, 5, 6 = Nummern der Piezometerrohre; v = effektive Wassergeschwindigkeit in mm pro Sek.

feiner Sand durch gröbere Kiesmaterialien durchgeschwemmt wird, und bei welchen Geschwindigkeiten umgekehrt ein Niedersetzen des im Wasser suspendierten Sandes in den Kiesmaterialien stattfindet. Für diese Versuche wurden die Materialien No. 5 und No. 8 benützt.

Es wurde eine grössere Wassermenge durch den Kanal des Apparates No. 1 durchgeleitet zur Erreichung einer effektiven Geschwindigkeit von über 15 mm pro Sekunde und nach Eintritt des Beharrungszustandes feiner Sand von 0 bis 0,5 mm Korngrösse, gewonnen durch Aussieben von Seesand für die Versuche mit Material No. 5 und von Sihlsand für das Material No. 8, in den Einlaufkasten eingestreut und durch ununterbrochenes Rühren ein sich Setzen des Sandes auf den Boden des Kastens verhindert. Durch die grossen

Wassergeschwindigkeiten von 15 bis 30 mm pro Sekunde wurde auch ein Teil des Sandes in den Kanal hinein und auf eine gewisse Strecke durch das Versuchsmaterial durchgerissen. Die Fortschritte dieser Sandablagerungen konnten wiederum durch Entnahme von Wasserproben bei den Piezometerrohren verfolgt werden. Die so gewonnenen Resultate sind in der Tabelle No. 4 zusammengestellt.

Beim Material No. 5 kamen die beiden effektiven Geschwindigkeiten von 22,5 und 30,4 mm pro Sekunde zur Anwendung, und es ergab sich, dass bei der kleineren Geschwindigkeit schon rund 70% des Sandgehaltes in der 40 cm langen Strecke zwischen R1 und R2 im Kies liegen blieben, während der Rest des Sandes zwischen R3 und R4 noch vollständig abgelagert wurde. Beim etwas grösseren Kiesmaterial No. 8 setzten sich bei der Ge-

Sandversuche.

Tabelle 4

a) Material 5.

Sandgehalt in gr pro 100 cm ³ Wasser		
Versuchs No.	I	II
V eff. in mm/sec.	22,5	30,4
R ₁	1,990	2,451
R ₂	0,598	2,006
R ₃	0,108	0,039
R ₄	0,004	0,011

b) Material 8.

Sandgehalt in gr pro 100 cm ³ Wasser		
Versuchs No.	I	II
V eff. in mm/sec.	15,5	31,4
R ₁	0,500	2,026
R ₂	0,342	2,346
R ₃	0,062	0,100
R ₄	0,021	0,020
R ₅	0,010	0,004

schwindigkeit von 15 mm zwischen R1 und R2 rund 25% des Sandgehaltes ab, der Rest wiederum zwischen R2 und R3. Bei 31,4 mm Geschwindigkeit dagegen wurde aller Sand bis R2 mitgerissen und dann in der 1,40 m langen Strecke R2—R3 liegen gelassen.

5. Schlussfolgerungen.

1. Unsere bisher durchgeführten Versuche zur Ermittlung der Durchlässigkeitskonstanten für Wasser durch verschiedene Materialien haben ergeben, dass der Koeffizient A sehr stark mit der Durchlässigkeit des Materials variiert, sodass z. B. für dichteren, feinkörnigen Sand (Material No. 2) ein $A = 5,07$ und für grobes Kiesmaterial (Material No. 8 und 9) ein $A = 1476 - 5010$ ermittelt wurde. Je undurchlässiger das Versuchsmaterial ist, um so kleiner werden bei gleichen Druckgefällen die Durchflussgeschwindigkeiten, um so mehr nähert sich der Wert des Exponenten m der Zahl 1, während umgekehrt den verhältnismässig grossen Durchflussgeschwindigkeiten bei den gröberen Materialien auch ein grösseres m entspricht.

Die gewonnenen Zahlenwerte von A und m geben ein anschauliches Bild der Verschiedenheit der Konstanten bei den verschiedenen Materialien. Sie können als Vergleichswerte bei der Berechnung der Durchsickerung von Wasser durch aufgeschüttete Kiesel, Kanäle, etc. in der Praxis Verwendung finden.

2. Die Lehmeinschwemmungsversuche haben bei den Materialien von gleichmässiger Korngrösse eine gewisse Proportionalität zwischen der Durchflussgeschwindigkeit und der Lehmlagerung gezeigt.

3. Die wenigen Versuche der Sandeinschwemmung ergaben das Resultat, dass effektive Wassergeschwindigkeiten von 15 bis 30 mm pro Sekunde genügen, um feinen Sand in gröberes Kiesmaterial hinein und auf eine gewisse Strecke durchzuschwemmen.

Für die genaue Berechnung der Durchlässigkeit eines ganz bestimmten Materiales sollten wegen der grossen Verschiedenheit der Konstanten A und m bei den einzelnen Materialien spezielle Versuche an Ort und Stelle oder in einer zuverlässigen Versuchsanstalt durchgeführt werden.

Oelpreise auf 15. Mai 1925

Mitgeteilt von der Firma Emil Scheller & Co., Zürich

Treiböle für Dieselmotoren	per 100 kg Fr.	Benzin für Explosionsmotoren	per 100 kg Fr.
Gasöl , min. 10,000 Cal. unterer Heizwert		Schwerbenzin bei einzelnen Fässern . . .	74.- bis 70.-
bei Bezug von Kesselwagen von 10-15,000 kg		Mittelschwerbenzin " " " . . .	79.- bis 75.-
per 100 kg netto unverz. Grenze	13.—	Leichtbenzin " " " . . .	102.- bis 98.-
bei Bezug in Fässern per 100 kg netto ab		Gasolin " " " . . .	130.—
Stationen Dietikon, Winterthur und Basel . .	17.50/16.50	Benzol " " " . . .	90.- bis 85.-
Petrol für Leucht- und Reinigungszwecke und Motoren per 100 kg netto ab Dietikon . . .	32.- bis 36.-	per 100 kg franko Talbahnstation (Spezialpreise bei grösseren Bezügen und ganzen Kesselwagen)	

Wagenmiete und Leihgebühr für Fässer inbegriffen — Fässer sind franko nach Dietikon zu retournieren.